

Starkniederschlagshöhen und -spenden gemäß KOSTRA-DWD-2020

Rasterfeld 159088

(Zeile 159, Spalte 88)

Regenspende und Bemessungsniederschlagswerte in Abhängigkeit von Wiederkehrzeit T und Dauerstufe D

| Dauerstufe D | | Wiederkehrzeit T | | | | | | | | | | | | | | | | | |
|--------------|-----|------------------|------------|------|------------|------|------------|-------|------------|-------|------------|-------|------------|-------|------------|-------|------------|-------|------------|
| | | 1 a | | 2 a | | 3 a | | 5 a | | 10 a | | 20 a | | 30 a | | 50 a | | 100 a | |
| min | Std | mm | l / (s ha) | mm | l / (s ha) | mm | l / (s ha) | mm | l / (s ha) | mm | l / (s ha) | mm | l / (s ha) | mm | l / (s ha) | mm | l / (s ha) | mm | l / (s ha) |
| 5 | | 6,4 | 213,3 | 7,7 | 256,7 | 8,6 | 286,7 | 9,7 | 323,3 | 11,3 | 376,7 | 13,0 | 433,3 | 14,0 | 466,7 | 15,5 | 516,7 | 17,5 | 583,3 |
| 10 | | 8,3 | 138,3 | 10,1 | 168,3 | 11,2 | 186,7 | 12,7 | 211,7 | 14,8 | 246,7 | 17,0 | 283,3 | 18,4 | 306,7 | 20,2 | 336,7 | 22,9 | 381,7 |
| 15 | | 9,6 | 106,7 | 11,6 | 128,9 | 12,9 | 143,3 | 14,6 | 162,2 | 17,0 | 188,9 | 19,5 | 216,7 | 21,2 | 235,6 | 23,3 | 258,9 | 26,4 | 293,3 |
| 20 | | 10,5 | 87,5 | 12,8 | 106,7 | 14,2 | 118,3 | 16,1 | 134,2 | 18,7 | 155,8 | 21,5 | 179,2 | 23,3 | 194,2 | 25,7 | 214,2 | 29,0 | 241,7 |
| 30 | | 12,0 | 66,7 | 14,6 | 81,1 | 16,2 | 90,0 | 18,3 | 101,7 | 21,3 | 118,3 | 24,5 | 136,1 | 26,5 | 147,2 | 29,2 | 162,2 | 33,1 | 183,9 |
| 45 | | 13,6 | 50,4 | 16,6 | 61,5 | 18,4 | 68,1 | 20,8 | 77,0 | 24,2 | 89,6 | 27,8 | 103,0 | 30,1 | 111,5 | 33,1 | 122,6 | 37,5 | 138,9 |
| 60 | 1 | 14,9 | 41,4 | 18,1 | 50,3 | 20,1 | 55,8 | 22,7 | 63,1 | 26,4 | 73,3 | 30,3 | 84,2 | 32,8 | 91,1 | 36,2 | 100,6 | 40,9 | 113,6 |
| 90 | 1,5 | 16,8 | 31,1 | 20,4 | 37,8 | 22,7 | 42,0 | 25,6 | 47,4 | 29,9 | 55,4 | 34,2 | 63,3 | 37,1 | 68,7 | 40,9 | 75,7 | 46,2 | 85,6 |
| 120 | 2 | 18,3 | 25,4 | 22,2 | 30,8 | 24,7 | 34,3 | 27,9 | 38,8 | 32,5 | 45,1 | 37,3 | 51,8 | 40,4 | 56,1 | 44,5 | 61,8 | 50,4 | 70,0 |
| 180 | 3 | 20,6 | 19,1 | 25,1 | 23,2 | 27,8 | 25,7 | 31,4 | 29,1 | 36,7 | 34,0 | 42,0 | 38,9 | 45,6 | 42,2 | 50,2 | 46,5 | 56,8 | 52,6 |
| 240 | 4 | 22,4 | 15,6 | 27,3 | 19,0 | 30,3 | 21,0 | 34,2 | 23,8 | 39,9 | 27,7 | 45,7 | 31,7 | 49,6 | 34,4 | 54,6 | 37,9 | 61,8 | 42,9 |
| 360 | 6 | 25,2 | 11,7 | 30,7 | 14,2 | 34,1 | 15,8 | 38,5 | 17,8 | 44,9 | 20,8 | 51,5 | 23,8 | 55,8 | 25,8 | 61,5 | 28,5 | 69,6 | 32,2 |
| 540 | 9 | 28,4 | 8,8 | 34,6 | 10,7 | 38,4 | 11,9 | 43,3 | 13,4 | 50,5 | 15,6 | 58,0 | 17,9 | 62,8 | 19,4 | 69,2 | 21,4 | 78,3 | 24,2 |
| 720 | 12 | 30,9 | 7,2 | 37,6 | 8,7 | 41,7 | 9,7 | 47,1 | 10,9 | 55,0 | 12,7 | 63,0 | 14,6 | 68,3 | 15,8 | 75,2 | 17,4 | 85,1 | 19,7 |
| 1080 | 18 | 34,8 | 5,4 | 42,3 | 6,5 | 46,9 | 7,2 | 53,0 | 8,2 | 61,8 | 9,5 | 70,9 | 10,9 | 76,8 | 11,9 | 84,6 | 13,1 | 95,8 | 14,8 |
| 1440 | 24 | 37,8 | 4,4 | 46,0 | 5,3 | 51,0 | 5,9 | 57,7 | 6,7 | 67,2 | 7,8 | 77,1 | 8,9 | 83,5 | 9,7 | 92,0 | 10,6 | 104,1 | 12,0 |
| 2880 | 48 | 46,2 | 2,7 | 56,2 | 3,3 | 62,4 | 3,6 | 70,5 | 4,1 | 82,2 | 4,8 | 94,3 | 5,5 | 102,2 | 5,9 | 112,5 | 6,5 | 127,3 | 7,4 |
| 4320 | 72 | 52,0 | 2,0 | 63,2 | 2,4 | 70,2 | 2,7 | 79,3 | 3,1 | 92,4 | 3,6 | 106,0 | 4,1 | 114,9 | 4,4 | 126,5 | 4,9 | 143,2 | 5,5 |
| 5760 | 96 | 56,5 | 1,6 | 68,7 | 2,0 | 76,3 | 2,2 | 86,2 | 2,5 | 100,5 | 2,9 | 115,2 | 3,3 | 124,9 | 3,6 | 137,5 | 4,0 | 155,7 | 4,5 |
| 7200 | 120 | 60,3 | 1,4 | 73,3 | 1,7 | 81,4 | 1,9 | 91,9 | 2,1 | 107,2 | 2,5 | 122,9 | 2,8 | 133,2 | 3,1 | 146,7 | 3,4 | 166,1 | 3,8 |
| 8640 | 144 | 63,6 | 1,2 | 77,3 | 1,5 | 85,8 | 1,7 | 96,9 | 1,9 | 113,0 | 2,2 | 129,6 | 2,5 | 140,5 | 2,7 | 154,7 | 3,0 | 175,1 | 3,4 |
| 10080 | 168 | 66,5 | 1,1 | 80,8 | 1,3 | 89,7 | 1,5 | 101,4 | 1,7 | 118,2 | 2,0 | 135,5 | 2,2 | 146,9 | 2,4 | 161,8 | 2,7 | 183,1 | 3,0 |

Starkniederschlagshöhen und -spenden gemäß KOSTRA-DWD-2020

Rasterfeld 159088

(Zeile 159, Spalte 88)

Örtliche Unsicherheiten in Abhängigkeit von Wiederkehrzeit T und Dauerstufe D

| Dauerstufe D | | Wiederkehrzeit T | | | | | | | | |
|--------------|-----|------------------|-----|-----|-----|------|------|------|------|-------|
| | | 1 a | 2 a | 3 a | 5 a | 10 a | 20 a | 30 a | 50 a | 100 a |
| min | Std | ± % | ± % | ± % | ± % | ± % | ± % | ± % | ± % | ± % |
| 5 | | 16 | 17 | 18 | 18 | 19 | 20 | 21 | 21 | 21 |
| 10 | | 17 | 19 | 20 | 21 | 22 | 23 | 24 | 24 | 25 |
| 15 | | 18 | 20 | 21 | 23 | 24 | 25 | 25 | 26 | 26 |
| 20 | | 19 | 21 | 22 | 23 | 24 | 25 | 26 | 26 | 27 |
| 30 | | 19 | 21 | 22 | 23 | 25 | 26 | 26 | 27 | 28 |
| 45 | | 18 | 21 | 22 | 23 | 24 | 25 | 26 | 27 | 27 |
| 60 | 1 | 18 | 20 | 21 | 22 | 24 | 25 | 25 | 26 | 26 |
| 90 | 1,5 | 16 | 19 | 20 | 21 | 22 | 23 | 24 | 24 | 25 |
| 120 | 2 | 15 | 18 | 19 | 20 | 21 | 22 | 23 | 23 | 24 |
| 180 | 3 | 14 | 16 | 17 | 18 | 20 | 21 | 21 | 22 | 22 |
| 240 | 4 | 13 | 15 | 16 | 17 | 18 | 19 | 20 | 20 | 21 |
| 360 | 6 | 13 | 14 | 15 | 16 | 17 | 18 | 18 | 19 | 20 |
| 540 | 9 | 13 | 14 | 14 | 15 | 16 | 17 | 17 | 18 | 18 |
| 720 | 12 | 13 | 14 | 14 | 15 | 16 | 16 | 17 | 17 | 18 |
| 1080 | 18 | 14 | 14 | 15 | 15 | 16 | 16 | 16 | 17 | 17 |
| 1440 | 24 | 16 | 15 | 15 | 16 | 16 | 16 | 16 | 17 | 17 |
| 2880 | 48 | 19 | 18 | 18 | 18 | 18 | 18 | 18 | 18 | 18 |
| 4320 | 72 | 22 | 21 | 20 | 20 | 20 | 20 | 20 | 20 | 20 |
| 5760 | 96 | 24 | 23 | 22 | 22 | 21 | 21 | 21 | 21 | 21 |
| 7200 | 120 | 25 | 24 | 24 | 23 | 23 | 22 | 22 | 22 | 22 |
| 8640 | 144 | 27 | 25 | 25 | 24 | 24 | 23 | 23 | 23 | 23 |
| 10080 | 168 | 28 | 26 | 26 | 25 | 25 | 24 | 24 | 24 | 24 |

Parameter für abweichende T und D

Lokationsparameter ξ (Xi)

15,06504765

Skalenparameter α (Alpha)

4,52224065

Formparameter κ (Kappa)

-0,1

1. Koutsoyiannis-Parameter θ (Theta)

0,01853432

2. Koutsoyiannis-Parameter η (Eta)

0,7102099

Parameter für dauerstufenübergreifende Extremwertschätzung nach KOUTSOYIANNIS et al. 1998.

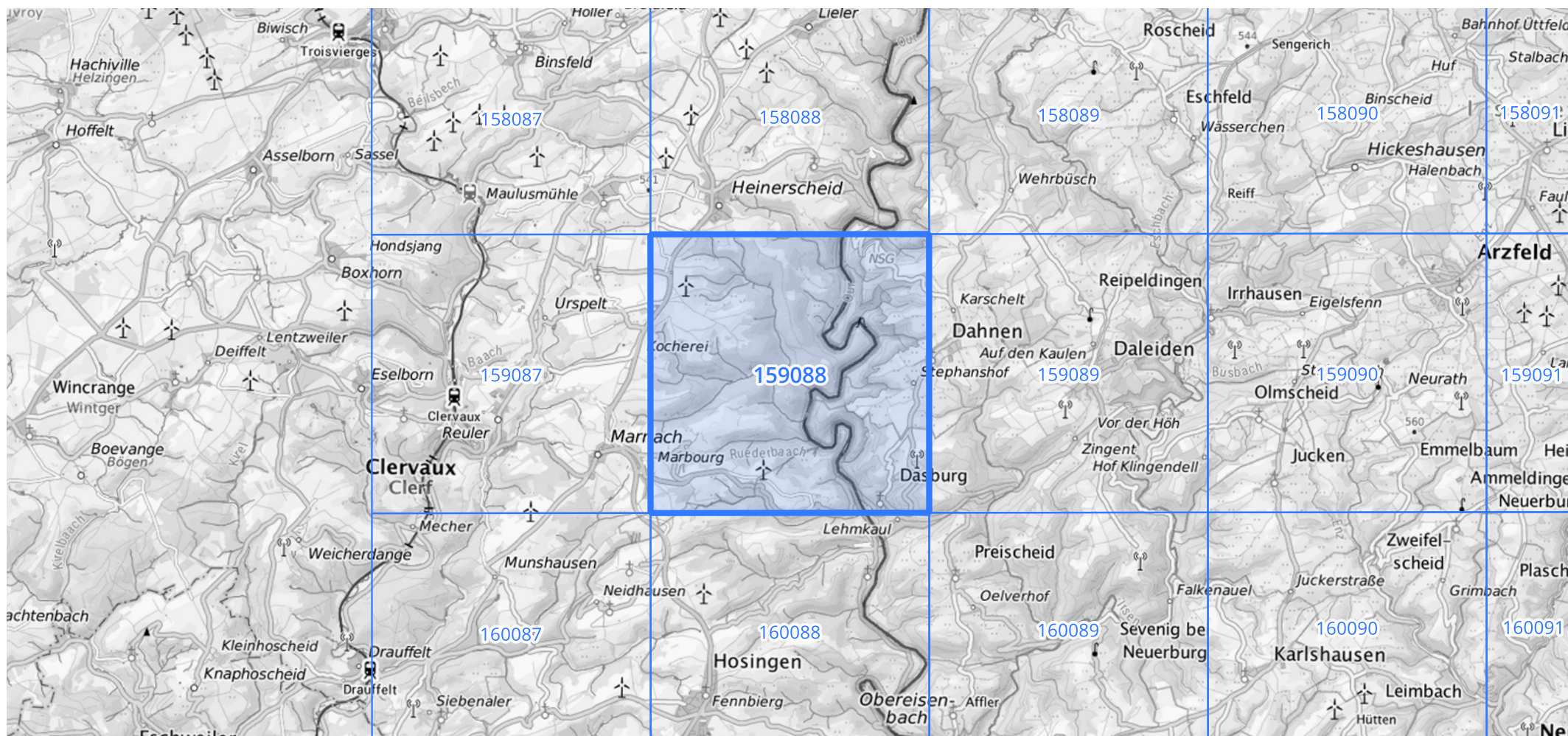
Siehe auch Anwendungshilfe zu KOSTRA-DWD-2020 des Deutschen Wetterdienstes.

Starkniederschlagshöhen und -spenden gemäß KOSTRA-DWD-2020

Rasterfeld 159088

(Zeile 159, Spalte 88)

Übersichtskarte des Rasterfeldes 159088, M 1 : 100 000



Quelle Rasterdaten: KOSTRA-DWD-2020 des Deutschen Wetterdienstes, Stand 12/2022.

Seite 3 von 3

Kartendarstellung: © Bundesamt für Kartographie und Geodäsie (2023), Datenquellen: https://sgx.geodatenzentrum.de/web_public/gdz/datenquellen/Datenquellen_TopPlusOpen.html

Für die Richtigkeit und Aktualität der Angaben wird keine Gewähr übernommen. Erstellt 01/2023.